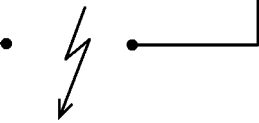


Отримано світловипромінюючі гетероструктури $n\text{-TiN}/n\text{-GaP}$ шляхом нанесення тонкоплівкового TiN методом реактивного магнетронного розпилення на монокристалічні підкладки фосфіду галію.

Досліджено температурні залежності висоти потенціального бар'єру і послідовного опору ізотипного гетеропереходу $n\text{-TiN}/n\text{-GaP}$ та вольт фарадні характеристики при різних частотах збуджуючого сигналу.

Встановлено, що домінуючі механізми струмопереносу через гетероструктуру при прямому зміщенні добре описуються в рамках тунельно-рекомбінаційної і генераційно - рекомбінаційної моделей за участю поверхневих станів.



УДК 621.315.592

М. М. Солован, магістр,
В. В. Брус, канд. тех. наук,
П. Д. Мар'янчук,
докт. фіз-мат наук,
Е. В. Майструк,
канд. фіз-мат наук,
I. Г. Орлецький,
канд. фіз-мат наук
Чернівецький національний
університет
імені Ю. Федьковича
вул. Коцюбинського 2,
Чернівці, Україна, 58012
Контактний тел.:
(03722) 4-68-77
E-mail:
p.maryanchuk@chnu.edu.ua

ЕЛЕКТРИЧНІ ВЛАСТИВОСТІ СВІЛЛОВИПРОМІНЮЮЧОЇ ГЕТЕРОСТРУКТУРИ $n\text{-TiN}/n\text{-GaP}$

Вступ

Нітрид титану (TiN) - це перспективний широкозонний матеріал, який володіє вдалою сукупністю фізико-хімічних параметрів: низький питомий опір, досить високий коефіцієнт пропускання у видимій частині спектру, високий коефіцієнт відбивання в інфрачервоній частині спектру, висока твердість, висока зносостійкість, хороша хімічна інертність і стійкість до корозії [1-3].

Тонкі плівки TiN знайшли практичне застосування в мікроелектронних пристроях, сонячних батареях та в якості захисних і декоративних покрівель. Крім того, завдяки біосумісності, TiN успішно використовується в якості поверхневого шару та електричного контакту в ортопедичних протезах, кардіологічних клапанах та інших біомедичних пристроях. Використовують різні методи для напилення плівок TiN. Найбільш придатними методами вважають реактивне магнетронне розпилення. Перевага методу реактивного розпилення полягає в тому, що він дозволяє контролювати ряд параметрів, такі як тиск азоту, базовий тиск, тиск розпилення, потужність магнетрона, зміщення підкладки і температуру підкладки, тому таку кількість комбінацій параметрів можна використовувати для отримання високої якості плівок з необхідними властивостями.

Завдяки фізичним властивостям тонкі плівки TiN отримані методом реактивного магнетронного розпилення є перспективним матеріалом для застосування в різних електронних пристроях.

В цій роботі досліджуються електричні та оптичні властивості світловипромінюючої ізотипної гетероструктури $n\text{-TiN}/n\text{-GaP}$.

Експериментальна частина

Світловипромінююча гетероструктура виготовлена методами епітаксійного вирощування з рідкої фази та реактивного магнетронного розпилення. На монокристалічну підкладку фосфіду галію n – типу провідності методом епітаксії з

рідкої фази наноситься епітаксійний шар GaP n – типу провідності товщиною 20 мкм легований азотом.

Напилення тонкої плівки n-TiN проводилося в універсальній вакуумній установці Laybold – Heraeus L560 за допомогою реактивного магнетронного розпилення мішенні чистого титану в суміші газів аргону та азоту при постійній напрузі. Парціальні тиски аргону та азоту складають 0,35 Па та 0,7 Па, відповідно, при постійній потужності магнетрона - 120 Вт. Протягом процесу напилення температура підкладки підтримується на рівні ~ 470 К. Отримані плівки TiN володіли n-типу провідності. Товщина плівок нітриду титану (~100 нм) визначалася за допомогою інтерферометра МІІ-4 за стандартною методикою.

Фронтальний електричний контакт до тонкої плівки нітриду титану формується методом термічного осадження індію при температурі підкладки 150°C. Тиловий омічний контакт до n-GaP отримували шляхом вплавлення індію.

Структурна схема отриманого ізотипного гетеропереходу n-TiN/n-GaP приведена на рис. 1.

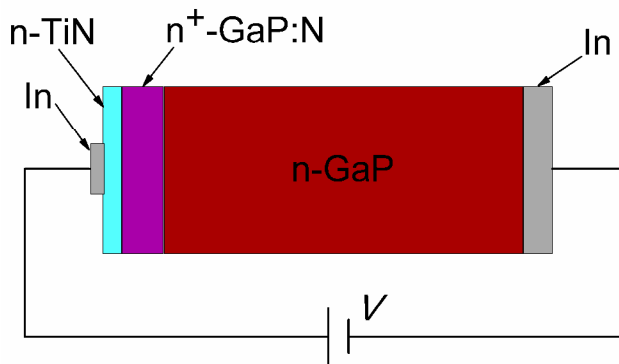


Рис. 1 - Структурна схема гетеропереходу n-TiN/n-GaP

Температурні залежності вольт – амперних характеристик та частотні залежності вольт – фарадні характеристики гетероструктури n-TiN/n-GaP вимірювалися за допомогою вимірювального комплексу SOLARTRON SI 1286, SI 1255.

Результати та їх обговорення

Досліджувані гетеропереходи володіли яскраво вираженими діодними характеристиками з коефіцієнтом випрямлення $k = 2 \cdot 10^5$ при 295 K.

Прямі гілки ВАХ досліджуваної структури, виміряні при різних температурах, приведено на рис. 2. Для них характерно зменшення напруги, при якій спостерігається швидке зростання струму з підвищеннем температури внаслідок зниження потенціального бар'єру, зумовленого контактною різницею потенціалів.

Шляхом екстраполяції лінійних ділянок ВАХ до перетину з віссю напруг визначені значення висоти потенціального бар'єру φ_0 гетеропереходу при різних температурах ($\varphi_0 = eV_{bi}$, де V_{bi} - контактна різниця потенціалів) (вставка рис. 2). Встановлено, що температурна залежність висоти потенціального бар'єру гетероструктури n-TiN/n-GaP добре описується рівнянням:

$$\varphi_0(T) = \varphi_0(0) - \beta_\varphi \cdot T, \quad (1)$$

де $\beta_\varphi = 2.48 \cdot 10^{-3} \text{ еВ} \cdot \text{K}^{-1}$ - температурний коефіцієнт висоти потенціального бар'єру, а $\varphi_0(0) = 2.43 \text{ еВ}$ - значення висоти потенціального бар'єру досліджуваної гетероструктури при абсолютному нулі температури.

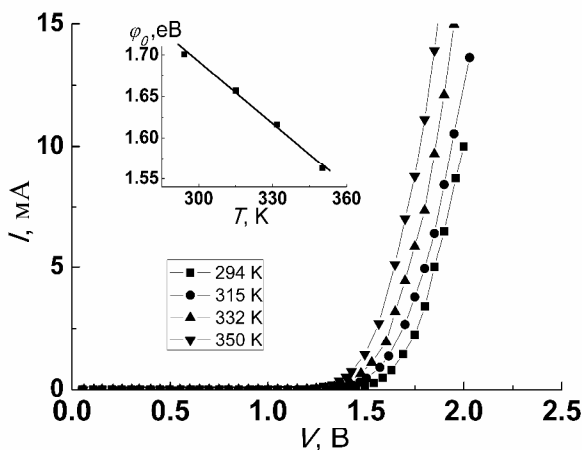


Рис. 2 - Вольт-амперні характеристики гетеропереходу n-TiN/n-GaP:
На вставці - температурна залежність висоти потенціального бар'єру

Варто зауважити, що великі значення β_φ і $\varphi_0(0)$, обумовлені високою концентрацією поверхневих станів (дислокації невідповідності) N_{ss} на межі розділу гетеропереходу. У першому наближенні $N_{ss} \sim x^{-2}$, де x - відстань між дислокаціями невідповідності, визначається з наступного виразу:

$$x = a_{GaP} a_{TiN} / (a_{GaP} - a_{TiN}), \quad (2)$$

Значення постійної гратки ($a_{TiN} = 4.24 \text{ \AA}$) [4] і $a_{GaP} = 5.45 \text{ \AA}$ [5], для x і N_{ss} отримане 19.09 \AA і $2.7 \cdot 10^{13} \text{ см}^{-2}$, відповідно. При такій густині поверхневі стани, можуть грати роль центрів захоплення, або рекомбінації і суттєво впливати на електричні властивості гетероструктур [6].

Величину послідовного опору гетероструктури R_s можна визначити з нахилу прямої гілки вольтамперної характеристики. Видно, що в області напруги більше висоти потенціального бар'єру криві $I = f(V)$ переходят з експоненційної залежності в лінійну. Це свідчить про те, що напруга на бар'єрних областях гетероперехода перестає змінюватися, тобто бар'єр практично відкритий, а струм через гетероперехід обмежується його послідовним опором R_s . Відомо, що з нахилу температурної залежності $\ln(R_s) = f(10^3/T)$ можна визначити глибину залягання робочого донорного рівня, який визначає властивості базового матеріалу [7]. Отримане значення глибини залягання донорного рівня складає 0.1 eV (рис. 3), і може бути пов'язане з глибиною залягання донорних рівнів утворених домішками азоту E_N .

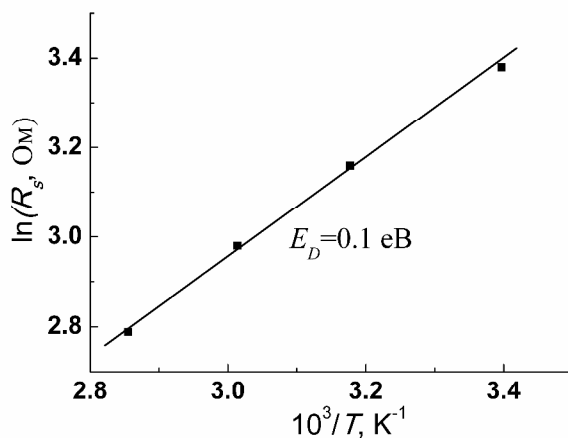


Рис. 3 - Залежність $R_s(10^3/T)$ в напівлогарифмічному масштабі.

Аналіз прямих гілок ВАХ структур n-TiN/n-GaP, побудованих в напівлогарифмічному масштабі (рис. 4), показав, що залежності $\ln I = f(V - IR_s)$ можна інтерпретувати двома прямолінійними ділянками, що свідчить про експоненціальну залежність струму від напруги і наявність двох домінуючих механізмів переносу заряду в досліджуваному інтервалі напруг. Визначені значення коефіцієнта неідеальності n ($\Delta \ln(I)/\Delta V = e/nkT$, де n - коефіцієнт неідеальності) для обох ділянок напруг, які становлять $n \approx 4,5$ ($0,15 < V < 1$ В) та n змінюється від 2,8 до 2,5 ($1 < V < 1,7$ В) з підвищенням температури від 294-350 К.

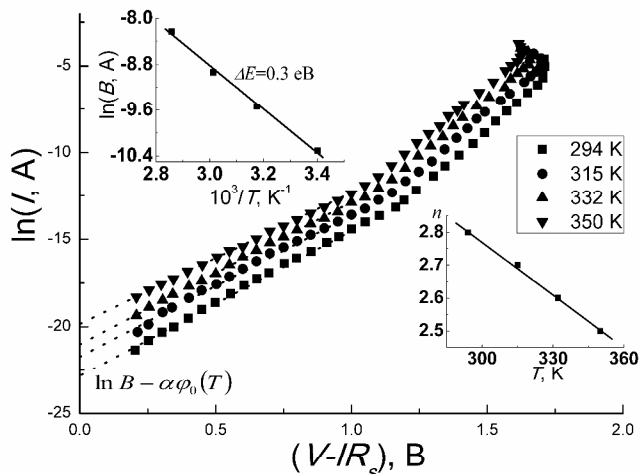


Рис. 4 - Прямі гілки ВАХ гетеропереходу n-TiN/n-GaP в напівлогарифмічному масштабі з урахуванням впливу послідовного опору. На вставках зображене температурну залежність коефіцієнта B та показника неідеальності n

Слабка температурна залежність нахилу прямолінійних ділянок ВАХ експериментальних залежностей $\lg I = f(V - IR_s)$ в області напруг $0.15 < V < 1$ В і значення показника неідеальності $n \approx 4,5$ дають можливість припустити, що єдиним фізично обґрутованим механізмом струмопреносу, враховуючи вище оцінену високу концентрацію дислокацій невідповідності N_s , можна вважати багатоступінчаті тунельно-рекомбінаційні процеси за участию поверхневих станів на межі поділу TiN/GaP. В цьому випадку струм при прямому зміщенні визначається наступним виразом [8]:

$$I = B \exp(-\alpha(\varphi_0(T) - eV)) \quad (3)$$

$$\alpha \approx \frac{4}{3\hbar} \left(\frac{m_n^* \epsilon_0 \epsilon_n}{N_D} \right)^{1/2}, \quad (4)$$

де B - величина, яка слабко залежить від температури і напруги, φ_0 - висота потенціального бар'єру, m_n^* , N_D , ϵ_n - ефективна маса електрона, концентрація донорів і відносна діелектрична проникність TiN, відповідно.

Перепишемо вираз (3) в іншій формі:

$$I = B \exp(-\alpha\varphi_0(T)) \exp(\alpha eV) = I_0 \exp(\alpha eV), \quad (4)$$

де, $I_0 = B \exp(-\alpha\varphi_0(T))$ – струм відсічки, який не залежить від прикладеної напруги. З виразу (6) видно, що нахил $\Delta \ln(I)/\Delta V$ початкових ділянок прямих гілок вольт-амперних характеристик зображених на рис. 3 визначає коефіцієнт α , який приймає значення $\sim 7.4 \text{ eB}^{-1}$.

Взявши логарифм виразу для струму відсічки, отримуємо рівняння (5):

$$\ln I_0 = \ln B - \alpha \phi_0(T), \quad (5)$$

Якщо значення висоти потенціального бар'єру і коефіцієнта α відомі, тоді величину коефіцієнта B можна легко обчислити з рівняння (5): $\ln B = \alpha \phi_0(T) + \ln I_0$ (вставка на рис. 4.). З нахилу якого можна визначити енергію активації поверхневих станів за участю яких відбуваються тунельно рекомбінаційні процеси при прямому зміщенні $\Delta E = 0.3$ еВ.

Оскільки значення показника неідеальності в області напруг 1 < V < 1,7 В змінюються від 2.8-2.5 з підвищенням температури від 294-355 К (вставка рис. 4), то це свідчить про те, що домінуючий механізм струмопереносу обумовлений генераційно-рекомбінаційними процесами в області просторового заряду через глибокий енергетичний рівень розміщений посередині забороненої зони за участю енергетично активних поверхневих пасток розміщених на металургійній межі розділу досліджуваного гетеропереходу [9]. ВАХ при прямих зсувах 1 < V < 1,7 В рис. 4 в нашому випадку добре описується рівнянням (5):

$$I_{gr} = \frac{qn_i S}{2\tau} W \left(\exp \left[\frac{qV}{nkT} \right] - 1 \right), \quad (5)$$

де n_i - концентрація власних носіїв заряду; S - площа гетероперехода; W - ширина ОПЗ, а τ - ефективний час життя нерівноважних носіїв в ній.

На рис. 5 зображено вольт - фарадні характеристики (ВФХ) гетеропереходу n-TiN/n-GaP при кімнатній температурі і різних частотах збуджуючого сигналу. Прямолінійність ВФХ в координатах $C^{-2} = f(V)$ свідчить про однорідний розподіл концентрації незкомпенсованої домішки в межах області просторового заряду [10]. Таким чином, досліджуваний гетероперехід можна віднести до різких поверхнево-бар'єрних напівпровідниковых структур. Спостережувана залежність ємності досліджуваного гетеропереходу від частоти збуджуючого сигналу обумовлена впливом його послідовного опору.

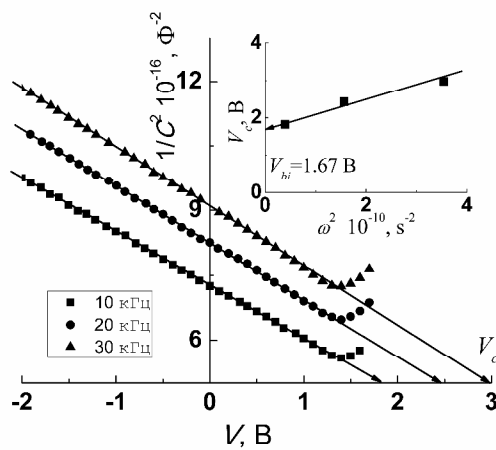


Рис. 5 - ВФХ досліджуваного гетеропереходу при різних частотах змінного сигналу: 1 – 10 кГц, 2 – 20 кГц, 3 – 30 кГц

На вставці рис. 5 зображена залежність напруги відсічки V_c від квадрата циклічної частоти ω^2 , на основі якої можна визначити величину вбудованого потенціалу $V_{bi} = 1.67$ В досліджуваного гетеропереходу з урахуванням впливу його послідовного опору, який добре корелює з висотою потенціального бар'єру визначеного з вольт-амперної характеристики рис. 2. Добре співпадання висоти

потенціального бар'єру отриманого з різних залежностей підтверджує достовірність експериментальних результатів.

На рис. 6 приведено спектральний розподіл свічення досліджуваних гетеропереходів n-TiN/n-GaP з боку плівки TiN виміряний при різних прямих зміщеннях. Максимум спектрального розподілу свічення гетеропереходів n-TiN/n-GaP спостерігається в області довжин хвиль ~ 568 нм. Положення максимуму спектрального розподілу слабо зміщується у довгохвильову область спектру при збільшенні прямого зміщення. Така поведінка може бути пов'язана з нагріванням гетеропереходу внаслідок протікання відносно великого струму.

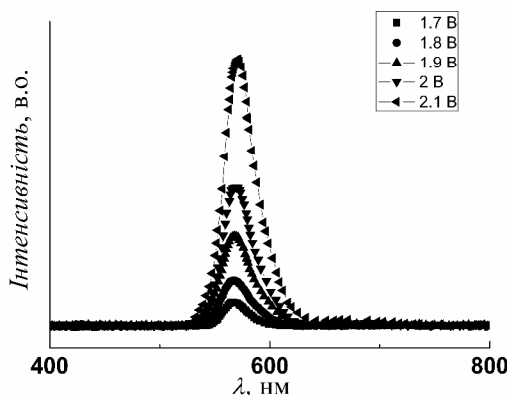


Рис. 6 - Спектральний розподіл свічення гетеропереходу n-TiN/n-GaP

Висновки

Виготовлені світловипромінюючі гетероструктури n-TiN/n-GaP методом реактивного магнетронного розпилення.

Досліджено температурні залежності висоти потенціального бар'єру і послідовного опору ізотипного гетеропереходу n-TiN/n-GaP.

Встановлено, що механізми струмопереносу через гетероструктуру при прямому зміщенні добре описуються в рамках тунельно-рекомбінаційної і генераційно-рекомбінаційної моделей за участю поверхневих станів.

Прямолінійність ВФХ, вимірюних при різних частотах збуджуючого сигналу в координатах $C^2 = f(V)$ свідчить про рівномірний розподіл концентрації нескомпенсованої домішки в межах області просторового заряду. Таким чином, гетеропереход n-TiN/n-GaP можна віднести до різких асиметричних поверхнево-бар'єрних структур.

Вимірюно спектральний розподіл свічення досліджуваних гетеропереходів n-TiN/n-GaP з боку плівки при різних прямих зміщеннях, на якому спостерігається максимум в області довжин хвиль ~ 568 нм.

Список використаної літератури

1. Gagnon, G. Characterization of reactively evaporated TiN layers for diffusion barrier applications [Text] / G. Gagnon, J.F. Currie, C. Beique, J.L. Brebner, S.G. Gujrathi, L. Onllet // J. Appl. Phys., 1994, Vol. 75(3), pp. 1565-1570
2. Solovan, M.N., Kinetic properties of the TiN thin films obtained by reactive magnetron sputtering [Text] / M.N. Solovan, V.V. Brus, P.D. Maryanchuk, T.T. Kovalyuk, J. Rappich, M. Gluba // Physics of the Solid State, 2013, Vol. 55(11), pp. 2234-2238
3. Solovan, M.N. Electrical and Optical Properties of TiN Thin Films [Text] / M.N. Solovan, V.V. Brus, P.D. Maryanchuk // Inorganic Materials, 2014, Vol. 50(1), pp. 40-45
4. Г. В. Самсонов. Нитриди [Текст] (М.Наукова думка, 1969) с. 133-158.

5. Шуберт Ф. Светодиоды [Текст] [Пер. с англ. под ред. А.Э. Юновича]/Ф.Шуберт.-2-е изд. - М.: ФИЗМАТЛІТ, 2008. – 496с.
6. А. Фаренбрюх, Р. Бьюб. Солнечные элементы: Теория и эксперимент [Текст] (М., Энергоатомиздат, 1987) [Пер. с англ.: A.L. Fahrenbruch, R.H. Bube. Fundamentals of solar cells. Photovoltaic solar energy conversion (New York, 1983).
7. S. Sze, *Physics of semiconductor devices* [Text], 2nd ed., Wiley, New York, 1981.
8. Brus, V. V. Electrical and photoelectrical properties of photosensitive heterojunctions n-TiO₂/p-CdTe [Text] / V. V. Brus, M. I. Ilashchuk, Z. D. Kovalyuk, P. D. Maryanchuk, K. S. Ulyanytskiy // Semiconductor Science and Technology. – 2011. – Vol. 26. – 125006.
9. Solovan, M. M. Fabrication and characterization of anisotype heterojunctions n-TiN/p-CdTe [Text] / V. V. Brus, P. D. Maryanchuk, M. I. Ilashchuk, J. Rappich, N. Nickel, S. L. Abashin // Semicond. Sci. Technol. – 2014. – Vol. 29. – 015007.
10. Брус, В. В. Электрические свойства анизотипных гетеропереходов n-CdZnO/p-CdTe [Текст] / В. В. Брус, М. И. Илащук, В. В. Хомяк, З. Д. Ковалюк, П. Д. Марьянчук, К. С. Ульянцкий // ФТП. – 2012. – Том. 46, Вып. 9. – С. 1175-1180

ЕЛЕКТРИЧЕСКИЕ СВОЙСТВА СВЕТОИЗЛУЧАЮЩЕЙ ГЕТЕРОСТРУКТУРЫ n-TiN/n-GaP

М. Н. Солован, В. В. Брус, П. Д. Марьянчук, Э. В. Майструк, И. Г. Орлецкий

Получены светоизлучающие гетероструктуры n-TiN/n-GaP путем нанесения тонкопленочного TiN методом реактивного магнетронного распыления на монокристаллические подложки фосфида галлия.

Исследованы температурные зависимости высоты потенциального барьера и последовательного сопротивления изотипных гетеропереходов n-TiN/n-GaP и вольт-фарадные характеристики при различных частотах возбуждающего сигнала.

Установлено, что доминирующие механизмы токопереноса через гетероструктуру при прямом смещении хорошо отписываются в рамках туннельно-рекомбинационной и генерационно-рекомбинационной моделей с участием поверхностных состояний.

ELECTRICAL PROPERTIES OF LIGHT EMITTING HETEROSTRUCTURES n-TiN/n-GaP

M. N. Solovan, V. V. Brus, P. D. Maryanchuk, E. V. Maistruk, I. G. Orletskii

Light emitting heterojunction n-TiN/n-GaP were fabricated by the deposition of the TiN thin film onto the GaP single crystal substrate by means of the reactive magnetron sputtering.

The temperature dependences of the height of the potential barrier and series resistance as well as the capacitance-voltage characteristics at different frequencies of the ac signal were investigated.

We have established that the dominating current transport mechanisms through the heterojunctions under investigated are well described in the scope of the tunnel-recombination and generation-recombination models.